

LEMBAR LAMPIRAN

Tabel 1. Hubungan antara Resistansi phenolptalein (R_1) dengan potensial terpasang

Potensial	R ($K\Omega$)					
	Waktu (menit)					
	10	15	20	25	30	35
4,5	4,0	3,7	3,4	3,1	2,8	2,5
6,0	3,9	3,4	2,8	2,3	1,9	2,1
7,5	3,3	3,0	2,7	2,3	1,8	1,3
9,0	3,3	3,0	2,5	2,3	1,6	1,3
12,0	3,2	2,8	2,3	1,8	1,5	1,2

Tabel 2. Hubungan antara Resistansi phenolptalein (R_2) dengan potensial terpasang

Potensial	R ($K\Omega$)					
	Waktu (menit)					
	10	15	20	25	30	35
4,5	3,9	3,7	3,3	3,0	2,5	2,1
6,0	3,8	3,5	3,0	2,4	2,1	1,8
7,5	4,0	3,4	2,9	2,4	1,8	1,4
9,0	3,3	3,1	2,4	2,2	1,6	1,2
12,0	3,1	2,9	2,2	1,8	1,5	1,1

Tabel 3. Hubungan antara resistansi phenolptalein (R_3) dengan potensial terpasang

Potensial	R ($K\Omega$)					
	Waktu (menit)					
	10	15	20	25	30	35
4,5	3,9	3,6	3,2	2,9	3,2	2,6
6,0	3,9	3,6	3,1	2,2	2,0	1,8
7,5	3,7	3,3	2,6	2,2	1,7	1,3
9,0	3,2	3,0	2,3	2,1	1,6	1,3
12,0	3,1	2,8	2,1	1,8	1,4	1,2

Tabel 4. Hubungan antara resistansi ($R_{rata-rata}$) dengan potensial terpasang

Potensial	R (K Ω)					
	Waktu (menit)					
	10	15	20	25	30	35
4,5	3,93	3,67	3,30	3,00	2,83	2,40
6,0	3,87	3,50	2,97	2,30	2,00	1,90
7,5	3,67	3,23	2,73	2,30	1,77	1,33
9,0	3,27	3,03	2,27	2,20	1,60	1,27
12,0	3,13	2,83	2,20	1,80	1,47	1,17

Tabel 5. Hubungan antara log resistansi phenolptalein ($\log R_1$) dengan potensial terpasang

Potensial	Log R					
	Waktu (menit)					
	10	15	20	25	30	35
4,5	0,602	0,568	0,530	0,491	0,447	0,398
6,0	0,591	0,531	0,447	0,362	0,279	0,322
7,5	0,519	0,477	0,431	0,362	0,255	0,114
9,0	0,519	0,477	0,398	0,362	0,204	0,114
12,0	0,505	0,447	0,362	0,255	0,176	0,079

Tabel 6. Hubungan antara log resistansi phenolptalein ($\log R_2$) dengan potensial terpasang

Potensial	Log R					
	Waktu (menit)					
	10	15	20	25	30	35
4,5	0,591	0,568	0,519	0,477	0,398	0,322
6,0	0,580	0,544	0,477	0,380	0,322	0,255
7,5	0,602	0,531	0,462	0,380	0,255	0,146
9,0	0,519	0,491	0,380	0,342	0,204	0,079
12,0	0,491	0,462	0,342	0,255	0,176	0,041

Tabel 7. Hubungan antara log resistansi phenolptalein ($\log R_3$) dengan potensial terpasang

Potensial	Log R					
	Waktu (menit)					
	10	15	20	25	30	35
4,5	0,591	0,556	0,505	0,462	0,505	0,415
6,0	0,591	0,556	0,491	0,342	0,301	0,255
7,5	0,568	0,519	0,415	0,342	0,230	0,114
9,0	0,505	0,477	0,362	0,322	0,204	0,114
12,0	0,491	0,447	0,322	0,255	0,146	0,079

Tabel 8. Hubungan antara log resistansi phenolptalein ($\log R_{rata-rata}$) dengan potensial terpasang

Potensial	Log R					
	Waktu (menit)					
	10	15	20	25	30	35
4,5	0,594	0,565	0,519	0,477	0,452	0,380
6,0	0,588	0,544	0,473	0,362	0,301	0,279
7,5	0,565	0,509	0,436	0,362	0,248	0,124
9,0	0,515	0,481	0,356	0,342	0,204	0,104
12,0	0,496	0,452	0,342	0,255	0,167	0,068

Tabel 9. Efek potensial terpasang terhadap absorbansi phenolptalein (A_1)

Potensial	Absorbansi (A)					
	Waktu (menit)					
	10	15	20	25	30	35
4,5	0,652	0,615	0,574	0,532	0,484	0,431
6,0	0,640	0,575	0,484	0,392	0,302	0,349
7,5	0,562	0,517	0,467	0,392	0,276	0,123
9,0	0,562	0,517	0,431	0,392	0,221	0,123
12,0	0,547	0,484	0,392	0,276	0,191	0,086

Tabel 10. Efek potensial terpasang terhadap absorbansi phenolptalein (A_2)

Potensial	Absorbansi (A)					
	Waktu (menit)					
	10	15	20	25	30	35
4,5	0,640	0,615	0,562	0,517	0,431	0,349
6,0	0,628	0,589	0,517	0,412	0,349	0,276
7,5	0,652	0,575	0,500	0,412	0,276	0,158
9,0	0,562	0,532	0,412	0,370	0,221	0,086
12,0	0,532	0,500	0,370	0,276	0,191	0,044

Tabel 11. Efek potensial terpasang terhadap absorbansi phenolptalein (A_3)

Potensial	Adsorbansi (A)					
	Waktu (menit)					
	10	15	20	25	30	35
4,5	0,640	0,602	0,547	0,500	0,547	0,449
6,0	0,640	0,602	0,532	0,370	0,326	0,276
7,5	0,615	0,562	0,449	0,370	0,249	0,123
9,0	0,547	0,517	0,392	0,349	0,221	0,123
12,0	0,532	0,484	0,349	0,276	0,191	0,044

Tabel 12. Efek potensial terpasang terhadap absorbansi phenolptalein ($A_{rata-rata}$)

Potensial	Absorbansi (A)					
	Waktu (menit)					
	10	15	20	25	30	35
4,5	0,643	0,612	0,562	0,517	0,489	0,411
6,0	0,637	0,589	0,512	0,392	0,326	0,302
7,5	0,612	0,551	0,472	0,392	0,269	0,134
9,0	0,558	0,521	0,386	0,370	0,221	0,113
12,0	0,537	0,489	0,370	0,276	0,181	0,174

Tabel 13. Efek potensial terpasang terhadap konsentrasi phenolptalein sisa (C_1)

Potensial	Konsentrasi (ppm)					
	Waktu (menit)					
	10	15	20	25	30	35
4,5	14,718	13,883	12,957	12,009	10,926	9,729
6,0	14,447	12,980	10,926	8,849	6,817	7,878
7,5	14,686	11,670	10,542	8,849	6,230	2,777
9,0	12,686	11,670	9,729	8,849	4,989	2,777
12,0	12,348	10,926	8,849	6,230	4,312	1,941

Tabel 14. Efek potensial terpasang terhadap konsentrasi phenolptalein sisa (C_2)

Potensial	Konsentrasi (ppm)					
	Waktu (menit)					
	10	15	20	25	30	35
4,5	14,447	13,883	12,686	11,670	9,729	7,878
6,0	14,176	13,296	11,670	9,300	7,878	6,230
7,5	14,719	12,980	11,287	9,300	6,230	3,567
9,0	12,686	12,009	9,300	8,352	4,989	1,941
12,0	12,009	11,287	8,352	6,230	4,312	0,993

Tabel 15. Efek potensial terpasang terhadap konsentrasi phenolptalein sisa (C_3)

Potensial	Konsentrasi (ppm)					
	Waktu (menit)					
	10	15	20	25	30	35
4,5	14,447	13,589	12,348	11,287	12,348	10,135
6,0	14,447	13,589	12,009	8,352	7,359	6,230
7,5	13,883	12,686	10,135	8,352	5,621	2,777
9,0	12,348	11,670	8,849	7,878	4,989	2,777
12,0	12,009	10,926	7,878	6,230	3,567	1,941

Tabel 16. Efek potensial terpasang terhadap konsentrasi phenolptalein sisa ($C_{rata-rata}$)

Potensial	Konsentrasi (ppm)					
	Waktu (menit)					
	10	15	20	25	30	35
4,5	14,515	13,815	12,686	11,670	11,038	9,278
6,0	14,379	13,296	11,558	8,849	7,359	6,817
7,5	13,815	12,438	10,655	8,849	6,072	3,025
9,0	12,596	11,761	8,713	8,352	4,989	2,551
12,0	12,122	11,038	8,352	6,230	4,086	1,670

Tabel 17. Hubungan antara nilai resistansi (R) dengan konsentrasi phenolptalein

Konsentrasi	R (K Ω)					Rata-rata
	I	II	III	IV	V	
3	0,9	0,9	0,9	0,9	0,9	0,9
5	1,5	1,5	1,5	1,5	1,5	1,5
7	1,8	1,8	1,8	1,8	1,8	1,8
9	2,6	2,6	2,6	2,6	2,6	2,6
11	3,0	3,0	3,0	3,0	3,0	3,0
13	4,0	4,0	4,0	4,0	4,0	4,0
15	4,5	4,5	4,5	4,5	4,5	4,5
17	5,4	5,4	5,4	5,4	5,4	5,4
19	6,4	6,4	6,4	6,4	6,4	6,4
21	7,2	7,2	7,2	7,2	7,2	7,2
23	8,1	8,1	8,1	8,1	8,1	8,1
25	9,1	9,1	9,1	9,1	9,1	9,1

Tabel 18. Hubungan antara nilai absorbansi dengan konsentrasi phenolptalein

Konsentrasi	Absorbansi (A)					Rata-rata
	I	II	III	IV	V	
3	0,158	0,158	0,158	0,158	0,158	0,158
5	0,260	0,260	0,260	0,260	0,260	0,260
7	0,330	0,330	0,330	0,330	0,330	0,330
9	0,414	0,414	0,414	0,414	0,414	0,414
11	0,468	0,466	0,466	0,466	0,466	0,4664
13	0,590	0,590	0,590	0,590	0,590	0,590
15	0,657	0,657	0,657	0,657	0,657	0,657
17	0,767	0,767	0,766	0,766	0,766	0,7664
19	0,837	0,836	0,836	0,836	0,835	0,836
21	0,925	0,925	0,925	0,925	0,925	0,925
23	1,006	1,005	1,005	1,005	1,004	1,005
25	1,102	1,102	1,102	1,102	1,102	1,102

Tabel 19. Hubungan antara nilai absorbansi, resistansi, dan log resistansi dengan konsentrasi phenolptalein

Konsentrasi (ppm)	Absorbansi	Resistansi R (K Ω)	Log R
3	0,158	0,9	-0,05
5	0,260	1,5	0,176
7	0,330	1,8	0,255
9	0,414	2,6	0,414
11	0,4664	3,0	0,477
13	0,590	4,0	0,602
15	0,657	4,5	0,653
17	0,7664	5,4	0,732
19	0,836	6,4	0,806
21	0,925	7,2	0,857
23	1,005	8,1	0,908
25	1,102	9,1	0,959

Tabel 20. Hubungan antara potensial terpasang (1) dengan a dan b dalam persamaan regresi $Y = a + bX$

Potensial	a	b
4,5	0,6888	-0,0081
6,0	0,7031	-0,0125
7,5	0,7145	-0,0158
9,0	0,716	-0,0165
12,0	0,6961	-0,0174

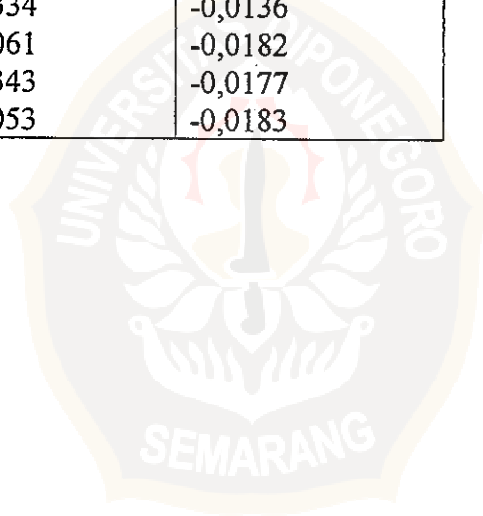
Tabel 21. Hubungan antara potensial terpasang (2) dengan a dan b dalam persamaan regresi $Y = a + bX$

Potensial	a	B
4,5	0,7231	-0,0108
6,0	0,7334	-0,0136
7,5	0,8061	-0,0182
9,0	0,7343	-0,0177
12,0	0,7053	-0,0183

Keterangan:

$Y = \log R$

$X = \text{Waktu (menit)}$



Tabel 22. Hubungan antara potensial terpasang (3) dengan a dan b dalam persamaan regresi $Y = a + bX$

Potensial	a	b
4,5	0,644	-0,0061
6,0	0,7562	-0,0148
7,5	0,7774	-0,0183
9,0	0,6925	-0,0161
12,0	0,6796	-0,0173

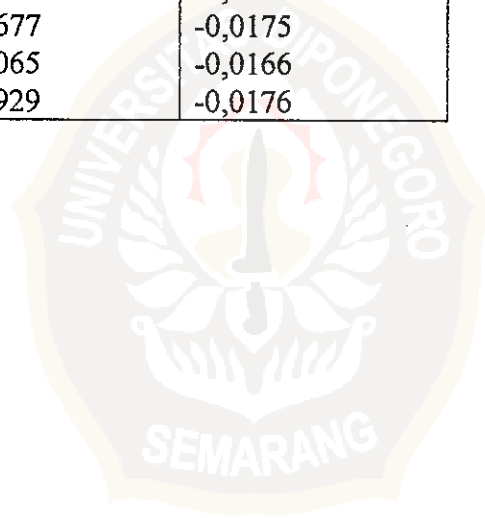
Tabel 23. Hubungan antara potensial terpasang (rata-rata) dengan a dan b dalam persamaan regresi $Y = a + bX$

Potensial	a	b
4,5	0,6844	-,0,0083
6,0	0,7311	-0,0136
7,5	0,7677	-0,0175
9,0	0,7065	-0,0166
12,0	0,6929	-0,0176

Keterangan:

Y = Log R

X = Waktu (menit)



Tabel 24. Efek potensial terpasang dengan massa besi yang tereduksi (1)

Potensial	Massa besi (x 10 ⁻³)					
	Waktu (menit)					
	10	15	20	25	30	35
4,5	0,5	0,8	1,1	0,6	2,1	1,5
6,0	0,9	0,8	3,1	2,8	1,9	2,8
7,5	1,8	1,2	2,2	2,4	2,2	1,4
9,0	0,9	1,5	1,8	1,5	1,0	3,8
12,0	1,4	3,4	2,4	2,9	4,3	3,7

Tabel 25. Efek potensial terpasang dengan massa besi yang tereduksi (2)

Potensial	Massa besi (x 10 ⁻³)					
	Waktu (menit)					
	10	15	20	25	30	35
4,5	0,4	0,6	0,4	2,2	2,9	0,4
6,0	0,8	0,4	1,9	2,0	4,0	2,9
7,5	1,8	1,2	2,0	2,1	2,6	0,5
9,0	0,7	1,2	1,9	2,0	2,4	3,8
12,0	1,3	2,4	2,7	3,4	4,0	3,9

Tabel 26. Efek potensial terpasang dengan massa besi yang tereduksi (3)

Potensial	Massa besi (x 10 ⁻³)					
	Waktu (menit)					
	10	15	20	25	30	35
4,5	0,4	1,8	1,9	2,1	0,6	2,4
6,0	0,3	1,0	2,2	2,2	1,4	2,4
7,5	1,7	1,5	2,9	2,5	2,7	2,2
9,0	0,7	2,2	2,5	2,6	2,9	2,9
12,0	0,9	1,3	1,6	2,1	2,4	2,5

Tabel 27. Efek potensial terpasang terhadap pH (1)

Potensial	pH					
	Waktu (menit)					
	10	15	20	25	30	35
4,5	9,2	9,1	8,6	6,5	6,8	6,2
6,0	6,7	5,8	6,8	5,8	6,5	6,7
7,5	5,0	6,8	6,7	5,5	6,6	6,8
9,0	7,0	5,4	5,5	6,6	6,7	7,3
12,0	8,4	6,6	6,6	6,5	6,7	6,8

Tabel 28. Efek potensial terpasang terhadap pH (2)

Potensial	pH					
	Waktu (menit)					
	10	15	20	25	30	35
4,5	7,9	6,9	6,6	7,0	6,9	6,9
6,0	7,2	7,0	6,8	6,8	6,8	6,8
7,5	6,8	7,0	6,7	6,8	6,7	6,7
9,0	5,8	6,3	6,2	6,4	6,0	5,1
12,0	6,5	6,6	6,7	6,8	6,8	6,8

Tabel 29. Efek potensial terpasang terhadap pH (2)

Potensial	pH					
	Waktu (menit)					
	10	15	20	25	30	35
4,5	6,7	6,8	6,8	6,9	6,8	6,8
6,0	7,8	8,3	8,3	7,7	7,7	6,8
7,5	7,1	6,8	6,8	7,0	6,8	6,8
9,0	7,0	6,8	7,1	7,8	7,2	6,9
12,0	7,2	6,6	6,8	6,7	7,0	6,6

Tabel 30. Efek potensial terpasang terhadap perubahan temperatur (1)

Potensial	ΔT (°C)					
	Waktu (menit)					
	10	15	20	25	30	35
4,5	0	0	0	0	0	0
6,0	0	0	0	0	0	0
7,5	0	0	0	0	0	0
9,0	0	0	1	1	1	1
12,0	1,5	2	2	2	2	2

Tabel 31. Efek potensial terpasang terhadap perubahan temperatur (2)

Potensial	ΔT (°C)					
	Waktu (menit)					
	10	15	20	25	30	35
4,5	0	0	0	0	0	0
6,0	0	0	0	0	0	0
7,5	0	0	0	0	0	0
9,0	1	1	1	1	1	1
12,0	1,5	2	2	2	2	2

Tabel 32. Efek potensial terpasang terhadap perubahan temperatur (2)

Potensial	ΔT (°C)					
	Waktu (menit)					
	10	15	20	25	30	35
4,5	0	0	0	0	0	0
6,0	0	0	0	0	0	0
7,5	0	0	0	0	0	0
9,0	0	0	1	1	1	1
12,0	1,5	1,5	2	2	2	2

Tabel 33. Hubungan antara massa Na_2SO_4 anhidrat dengan larutan sampel (1)

Potensial	Massa Na_2SO_4 anhidrat (gram)					
	Waktu (menit)					
	10	15	20	25	30	35
4,5	0,8027	0,8023	0,8011	0,8013	0,8030	0,8015
6,0	0,8011	0,8013	0,8017	0,8024	0,8012	0,8001
7,5	0,8026	0,8008	0,8013	0,8020	0,8017	0,8009
9,0	0,8011	0,8015	0,8005	0,8019	0,8010	0,8011
12,0	0,8020	0,8023	0,8021	0,8022	0,8019	0,8019

Tabel 34. Hubungan antara massa Na_2SO_4 anhidrat dengan larutan sampel (2)

Potensial	Massa Na_2SO_4 anhidrat (gram)					
	Waktu (menit)					
	10	15	20	25	30	35
4,5	0,8006	0,8000	0,8009	0,8018	0,8011	0,8019
6,0	0,8013	0,8007	0,8018	0,8013	0,8009	0,8002
7,5	0,8016	0,8012	0,8016	0,8012	0,8013	0,8014
9,0	0,8010	0,8011	0,8014	0,8011	0,8007	0,8011
12,0	0,8007	0,8005	0,8008	0,8013	0,8004	0,8009

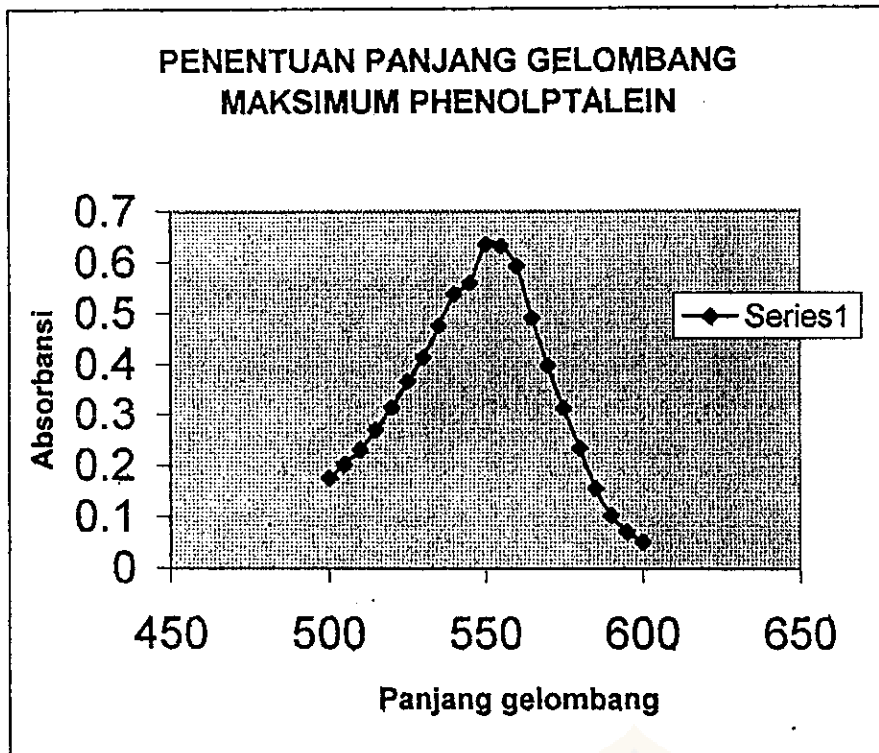
Tabel 35. Hubungan antara massa Na_2SO_4 anhidrat dengan larutan sampel (3)

Potensial	Massa Na_2SO_4 Anhidrat (gram)					
	Waktu (menit)					
	10	15	20	25	30	35
4,5	0,8004	0,8004	0,8012	0,8013	0,8004	0,8011
6,0	0,8018	0,8000	0,8019	0,8010	0,8010	0,8025
7,5	0,8000	0,8000	0,8008	0,8008	0,8016	0,8018
9,0	0,8010	0,8018	0,8012	0,8010	0,8006	0,8014
12,0	0,8013	0,8015	0,8007	0,8004	0,8008	0,8013

Tabel 36. Penentuan λ maksimum phenolptalein

λ (nm)	Absorbansi					
	A ₁	A ₂	A ₃	A ₄	A ₅	A _{rata-rata}
500	0,184	0,187	0,184	0,149	0,184	0,178
505	0,207	0,215	0,209	0,172	0,212	0,203
510	0,234	0,244	0,238	0,205	0,235	0,231
515	0,274	0,280	0,282	0,244	0,268	0,270
520	0,315	0,329	0,324	0,286	0,322	0,315
525	0,364	0,386	0,378	0,342	0,370	0,368
530	0,412	0,434	0,430	0,378	0,414	0,414
535	0,470	0,498	0,484	0,440	0,486	0,476
540	0,536	0,572	0,548	0,486	0,548	0,538
545	0,596	0,654	0,596	0,530	0,620	0,560
550	0,620	0,756	0,616	0,558	0,624	0,635
555	0,614	0,804	0,594	0,538	0,610	0,632
560	0,572	0,810	0,536	0,492	0,554	0,593
565	0,446	0,708	0,542	0,398	0,452	0,495
570	0,367	0,580	0,352	0,320	0,376	0,399
575	0,285	0,480	0,281	0,252	0,286	0,314
580	0,206	0,347	0,221	0,187	0,215	0,235
585	0,137	0,217	0,161	0,127	0,141	0,157
590	0,088	0,131	0,103	0,089	0,092	0,101
595	0,067	0,096	0,063	0,068	0,068	0,072
600	0,049	0,072	0,050	0,047	0,047	0,053





Tabel 38. Penampakan Warna Akibat Absorpsi Cahaya^(*)

$\lambda_{\text{Absorbsi}} (\text{nm})$	Warna terabsorbsi	Warna Teramati
410	Violet	Hijau-Kuning
430	Violet-Biru	Kuning
480	Biru	Orange
500	Biru-Hijau	Merah
530	Hijau	Purple
560	Hijau-Kuning	Violet
580	Kuning	Violet-Biru
610	Orange	Biru
680	Merah	Biru-Hijau
720	Merah purple	Hijau

Tabel 39. Penentuan Sifat Kimia oleh Ukuran Atom^(*)

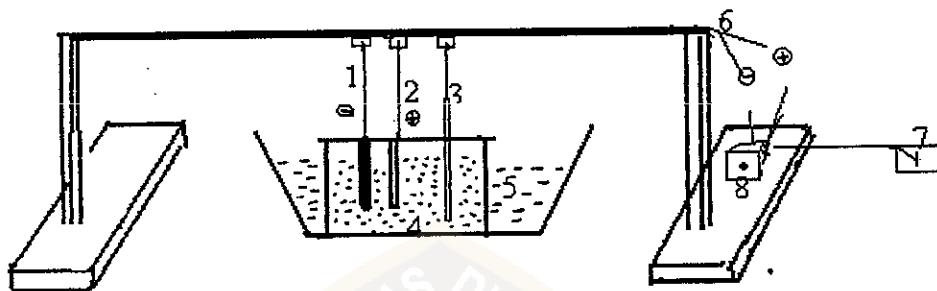
Sifat	Besi	Kobalt	Nikel	Tembaga	Seng
Konfigurasi elektron	$[\text{Ar}]3d^6 4s^2$	$[\text{Ar}]3d^7 4s^2$	$[\text{Ar}]3d^8 4s^2$	$[\text{Ar}]3d^{10} 4s^1$	$[\text{Ar}]3d^{10} 4s^2$
Melting point, °C	1535	1495	1453	1083	420
Boiling point, °C	2750	2879	2732	2567	907
Densitas, g cm^{-3}	7,9	8,9	8,9	8,9	7,1
Elektronegatifitas (skala Pauling)	1,8	1,8	1,6	1,9	1,6
Jari-jari Kovalen, pm	117	116	115	117	125
Jari-jari ionik (untuk M^{2+}), pm	75	79	83	87	88

Tabel 40. Harga Ksp (25°C)^(*)

Senyawa	Formula	Ksp
Aluminium hidroksida	$\text{Al}(\text{OH})_3$	$4,5 \times 10^{-33}$
Barium kromat	BaCrO_4	$1,2 \times 10^{-10}$
Barium fluorida	BaF_2	$1,0 \times 10^{-6}$
Barium sulfat	BaSO_4	$1,1 \times 10^{-10}$
Kadmium oksalat	CdC_2O_4	$1,5 \times 10^{-9}$
Kadmium sulfida	CdS	8×10^{-27}
Kalsium karbonat	CaCO_3	$3,9 \times 10^{-9}$
Kalsium fluorida	CaF_2	$3,4 \times 10^{-11}$
Kalsium oksalat	CaC_2O_4	$2,3 \times 10^{-9}$
Kalsium fosfat	$\text{Ca}_3(\text{PO}_4)_2$	1×10^{-26}
Kalsium sulfat	CaS	$2,4 \times 10^{-5}$
Kobalt(II) sulfida	CoS	4×10^{-31}
Tembaga (II) hidroksida	$\text{Cu}(\text{OH})_2$	$2,6 \times 10^{-29}$
Tembaga (II) sulfida	CuS	6×10^{-36}
Besi (II) hidroksida	$\text{Fe}(\text{OH})_2$	8×10^{-16}
Besi (II) sulfida	FeS	6×10^{-10}
Besi (III) hidroksida	$\text{Fe}(\text{OH})_3$	$2,5 \times 10^{-39}$

Timbal (II) arsenat	$\text{Pb}(\text{AsO}_4)_2$	4×10^{-36}
Timbal (II) klorida	PbCl_2	$1,6 \times 10^{-5}$
Timbal (II) kromat	PbCrO_4	$1,8 \times 10^{-14}$
Timbal (II) iodida	PbI_2	$6,5 \times 10^{-9}$
Timbal (II) sulfat	PbSO_4	$1,7 \times 10^{-9}$
Timbal (II) sulfida	PbS	$2,5 \times 10^{-27}$
Magnesium arsenat	$\text{Mg}(\text{AsO}_4)_2$	2×10^{-20}
Magnesium karbonat	MgCO_3	$1,0 \times 10^{-5}$
Magnesium hidroksida	$\text{Mg}(\text{OH})_2$	$1,8 \times 10^{-11}$
Magnesium oksalat	MgC_2O_4	$8,5 \times 10^{-5}$
Mangan (II) sulfida	MnS	$2,5 \times 10^{-10}$
Merkuri (I) klorida	Hg_2Cl_2	$1,3 \times 10^{-10}$
Merkuri(II) sulfida	HgS	$1,6 \times 10^{-50}$
Nikel (II) hidroksida	$\text{Ni}(\text{OH})_2$	$2,0 \times 10^{-15}$
Nikel (II) sulfida	NiS	3×10^{-19}
Perak asetat	$\text{AgC}_2\text{H}_3\text{O}_2$	$2,0 \times 10^{-3}$
Perak bromida	AgBr	$5,0 \times 10^{-13}$
Perak Klorida	AgCl	$1,8 \times 10^{-20}$
Perak kromat	Ag_2CrO_4	$1,1 \times 10^{-12}$
Perak iodida	AgI	$8,3 \times 10^{-17}$
Perak sulfida	Ag_2S	6×10^{-30}
Stronsium karbonat	SrCO_3	$9,3 \times 10^{-16}$
Stronsium kromat	SrCrO_4	$3,5 \times 10^{-5}$
Stronsium sulfat	SrSO_4	$2,5 \times 10^{-7}$
Seng hidroksida	$\text{Zn}(\text{OH})_2$	$2,1 \times 10^{-16}$
Seng sulfida	ZnS	$1,1 \times 10^{-21}$

(*) Daftar di atas berasal dari General chemistry, Fifth edition, by darrell D, Ebbing. Copyright 1996 by houghton Mifflin Company. Diambil dengan izin lisensi dari INSO Corporation



Gambar 1. Desain Alat Elektrolisis

Keterangan:

1. Katoda (karbon)
2. Anoda (besi)
3. Termometer
4. Larutan Elektrolisis
5. Waterbath
6. Kabel
7. Stop kontak
8. Adaptor